

УДК 681.51

## РАСЧЁТ ПИР-РЕГУЛЯТОРА НА ОСНОВЕ МЕТОДА РАЗДЕЛЕНИЯ ДВИЖЕНИЙ И ПРИНЦИПА ВНУТРЕННЕЙ МОДЕЛИ ДЛЯ ПОДАВЛЕНИЯ ГАРМОНИЧЕСКИХ ВОЗМУЩЕНИЙ

© В. Д. Юркевич

*Новосибирский государственный технический университет,  
630073, г. Новосибирск, просп. К. Маркса, 20  
E-mail: yurkev@mail.ru*

Рассматривается модифицированная структура пропорционально-интегрального резонансного регулятора и методика настройки его параметров. Показано, что применение метода разделения движений даёт возможность выполнить расчёт пропорционально-интегральной составляющей регулятора независимым образом от выбора параметров резонансных компонент регулятора. Предлагаемый подход к расчёту параметров регулятора позволяет обеспечить точное слежение для заданного гармонического воздействия в системе управления в условиях действия внешних гармонических возмущений и неполной информации о параметрах объекта управления. Приведены результаты численного моделирования.

*Ключевые слова:* управление, пропорционально-интегральный резонансный регулятор, метод разделения движений, принцип внутренней модели.

DOI: 10.15372/AUT20210405

**Введение.** Одним из базовых принципов проектирования высокоточных систем слежения является широко известный принцип внутренней модели [1–3]. В соответствии с ним асимптотическое стремление к нулю ошибки слежения для задающего гармонического воздействия и полное подавление внешних гармонических возмущений обеспечивается при условии, если полюсы передаточной функции регулятора содержат полюсы изображений по Лапласу гармонических воздействий и возмущений. При выполнении данного условия нули функции чувствительности системы управления содержат полюсы изображений по Лапласу гармонических воздействий и возмущений, что обеспечивает асимптотическое стремление к нулю ошибки регулирования для заданного класса сигналов.

Альтернативным подходом к повышению точности регулирования является использование алгоритмов управления с большими коэффициентами в законе обратной связи [4], которые в предельном случае, при ограничениях на ресурс управления, приводят к использованию разрывных законов управления и формированию скользящих режимов в системе регулирования [5]. Однако реализация данного подхода часто бывает затруднительной на практике в условиях наличия неучтённой динамики и запаздываний в контуре регулирования, что ограничивает возможность увеличения коэффициентов усиления требованием сохранения устойчивости системы и заданных показателей качества переходных процессов. Соответственно при использовании разрывных алгоритмов управления в данных условиях отсутствует идеальный скользящий режим и возникает реальный скользящий режим с конечной частотой переключений при движении вдоль поверхности скольжения. В результате указанный альтернативный подход к повышению точности регулирования вместо асимптотической устойчивости требуемого состояния системы обеспечивает только свойство равномерной конвергентности системы в некоторую окрестность необходимого состояния [6].

В целях обеспечения асимптотического стремления к нулю ошибки регулирования в системе управления при действии гармонических возмущений известной частоты и неизвестной амплитуды на основе принципа внутренней модели широко привлекаются резонансные регуляторы [7–12]. В качестве примеров применения резонансных регуляторов можно отметить подавление вибраций в механических системах [7, 8] и задачи управления импульсными преобразователями электрической энергии [9, 10].

В данной работе предлагается новая модифицированная структура пропорционально-интегрального резонансного регулятора и методика настройки его параметров. Показано, что применение метода разделения движений позволяет выполнить расчёт параметров пропорционально-интегральной составляющей предлагаемого регулятора независимо от выбора параметров резонансных компонент этого регулятора. Рассматриваемый подход к расчёту параметров регулятора даёт возможность обеспечить формирование заданных показателей качества переходных процессов в системе управления и асимптотическое стремление к нулю ошибки регулирования в условиях действия внешних гармонических возмущений и неполной информации о параметрах объекта управления.

**Постановка задачи.** Рассмотрим динамическую систему, математическая модель которой задана дифференциальным уравнением

$$\dot{y} = ay + b(u + d), \quad (1)$$

где  $y$  — измеряемый выход системы,  $u$  — управляющее воздействие,  $d$  — возмущающее воздействие.

Полагаем, что параметры  $a$  и  $b$  системы (1) являются постоянными, но неизвестными величинами, значения которых удовлетворяют условиям

$$|a| \leq a_{\max}; \quad 0 < b_{\min} \leq b \leq b_{\max}. \quad (2)$$

Рассмотрим пропорционально-интегральный (ПИ) регулятор для системы (1):

$$u(t) = k_p e(t) + k_i \int_0^t e(\tau) d\tau, \quad (3)$$

где  $e(t) = r(t) - y(t)$  — ошибка регулирования;  $r(t)$  — задающее входное воздействие. Соответственно выражение для функции чувствительности [13] системы (1), (3) имеет вид

$$S(s) = \frac{s(s - a)}{s^2 + (k_p b - a)s + k_i b}, \quad (4)$$

где  $|S(j\omega)|_{\omega=0} = 0$ . Таким образом, при выполнении условий устойчивости замкнутой системы (1), (3) имеет место свойство  $\lim_{t \rightarrow \infty} e(t) = 0$ , если  $r = \text{const}$  и  $d = \text{const}$ . В то же время свойство асимптотической устойчивости состояния равновесия системы (1), (3) нарушается при гармоническом характере поведения  $r(t)$  или  $d(t)$ , так как  $|S(j\omega)|_{\omega \neq 0} \neq 0$ .

Требование асимптотического стремления к нулю ошибки регулирования для гармонического воздействия с известной частотой  $\omega_1$  и неизвестной амплитудой может быть достигнуто на основе применения резонансных регуляторов. Рассмотрим алгоритм управления в изображениях по Лапласу в виде  $u(s) = G_c(s)e(s)$ , тогда в качестве примера возьмём пропорционально-резонансный (ПР) регулятор [10, 11] с передаточной функцией  $G_c(s) = G_{pr}(s)$ , где

$$G_{pr}(s) = k_p + \frac{k_r s}{s^2 + \omega_1^2}, \quad (5)$$

или пропорционально-интегральный резонансный (ПИР) регулятор [12] с передаточной функцией  $G_c(s) = G_{pir}(s)$ , где

$$G_{pir}(s) = k_p + \frac{k_i}{s} + \frac{k_r s}{s^2 + \omega_1^2}. \quad (6)$$

Тогда функция чувствительности для системы (1), (5) принимает вид

$$S(s) = \frac{(s^2 + \omega_1^2)(s - a)}{s^3 + (k_p b - a)s^2 + (k_r b + \omega_1^2)s + (k_p b - a)\omega_1^2}, \quad (7)$$

а для системы (1), (6) будем иметь

$$S(s) = \frac{s(s^2 + \omega_1^2)(s - a)}{s^4 + (k_p b - a)s^3 + [(k_i + k_r)b + \omega_1^2]s^2 + (k_p b - a)\omega_1^2 s + k_i b \omega_1^2}, \quad (8)$$

где для (7) и (8) имеет место свойство  $|S(j\omega)|_{\omega=\omega_1} = 0$ . В результате при выполнении условий устойчивости замкнутой системы с ПР- и ПИР-регуляторами обеспечивается свойство  $\lim_{t \rightarrow \infty} e(t) = 0$  при  $r(t) = A_r \sin(\omega_1 t)$  и при  $d(t) = A_d \sin(\omega_1 t)$ .

Процедуры настройки резонансных регуляторов рассматривались в различных работах, в большинстве которых обсуждается настройка ПР-регуляторов. Например, в [11] предложен метод вынужденных колебаний для настройки параметров ПР-регулятора, где в основе данного метода лежит развитие известной процедуры Циглера — Николса [14]. В работе [15] обсуждалась методика настройки ПР-регуляторов частотным методом, который вместе с методом корневого годографа применялся для настройки ПР-регуляторов в [16].

Основной проблемой, возникающей на пути применения резонансных регуляторов, является отсутствие ясных методик для расчёта параметров таких регуляторов, позволяющих установить связь параметров с требованиями к показателям качества переходных процессов в системе регулирования. Сложность решения данной проблемы особенно возрастает при использовании резонансных регуляторов с множеством резонансных компонент:

$$G_{pir}(s) = k_p + \frac{k_i}{s} + \sum_{\nu=1}^m \frac{k_{r\nu} s}{s^2 + \omega_\nu^2}, \quad (9)$$

которые применяются для подавления влияния многочастотных гармонических возмущений.

Целью данной работы является создание методики настройки параметров ПИР-регуляторов с учётом требования к заданным показателям качества переходных процессов в системе управления и требования асимптотического стремления к нулю ошибки регулирования в условиях действия внешних гармонических возмущений и при неполной информации о параметрах модели объекта управления.

**Модифицированный ПИР-регулятор.** В представленной работе предлагается модифицированный ПИР-регулятор с передаточной функцией

$$\bar{G}_{pir}(s) = \left[ k_p + \frac{k_i}{s} \right] \left[ 1 + \frac{k_r s}{s^2 + \omega_1^2} \right], \quad (10)$$

которая также может быть представлена в виде

$$\bar{G}_{pir}(s) = \left[ k_p + \frac{k_i}{s} \right] \left[ \frac{s^2 + k_r s + \omega_1^2}{s^2 + \omega_1^2} \right] = k_p + \frac{k_i}{s} + \frac{k_i k_r}{s^2 + \omega_1^2} + \frac{k_p k_r s}{s^2 + \omega_1^2}. \quad (11)$$

Соответственно для подавления влияния многочастотных гармонических возмущений в качестве обобщения передаточной функции модифицированного ПИР-регулятора (10) получим выражение

$$\hat{G}_{pir}(s) = \left[ k_p + \frac{k_i}{s} \right] \prod_{\nu=1}^m \left[ 1 + \frac{k_{r\nu} s}{s^2 + \omega_\nu^2} \right]. \quad (12)$$

Функция чувствительности для системы (1), (10) имеет вид

$$S(s) = \frac{s(s^2 + \omega_1^2)(s - a)}{s^4 + (k_p b - a)s^3 + [(k_p k_r + k_i)b + \omega_1^2]s^2 + (k_i k_r b + k_p b \omega_1^2 - a \omega_1^2)s + k_i b \omega_1^2}, \quad (13)$$

где  $|S(j\omega)|_{\omega=0} = 0$  и  $|S(j\omega)|_{\omega=\omega_1} = 0$ . Значит, для устойчивой замкнутой системы (1), (10) обеспечивается свойство  $\lim_{t \rightarrow \infty} e(t) = 0$  при  $r(t) = A_r \sin(\omega_1 t)$  и при  $d(t) = A_d \sin(\omega_1 t)$ , а также при  $r = \text{const}$  и  $d = \text{const}$ .

Расчётные соотношения для выбора параметров ПИР-регулятора (10) могут быть получены на основе анализа условий устойчивости системы (1), (10). Сложность данного анализа обусловлена значительным увеличением динамического порядка замкнутой системы с резонансными регуляторами при небольшом числе свободных параметров регулятора. Упростить анализ возможно, привлекая метод разделения движений [4] для исследования свойств характеристического полинома системы (1), (10). В этих целях необходимо предварительно ввести малый параметр  $\varepsilon$  в выражение для ПИ-регулятора следующим образом [17, 18]:

$$G_{pi}(s) = k_p + \frac{k_i}{s} = k_0 \frac{(s + T^{-1})}{\varepsilon s}, \quad (14)$$

где  $k_p = k_0/\varepsilon$  и  $k_i = k_0/(\varepsilon T)$ ,  $\varepsilon$  — малый положительный параметр. Рекомендации по выбору параметров  $k_0, \varepsilon$  и  $T$  будут получены на основе анализа условий устойчивости системы (1), (10), где компонента для ПИ-регулятора представлена в виде (14).

Принимая во внимание (14), получаем характеристический полином системы (1), (10), параметры которого зависят от  $\varepsilon$ :

$$\begin{aligned} A(s, \varepsilon) = & \varepsilon s^4 + (k_0 b - \varepsilon a)s^3 + (k_0 b T^{-1} + k_0 b k_r + \varepsilon \omega_1^2)s^2 + \\ & + (k_0 b k_r T^{-1} + k_0 b \omega_1^2 - \varepsilon a \omega_1^2)s + k_0 b T^{-1} \omega_1^2. \end{aligned} \quad (15)$$

Введение малого параметра  $\varepsilon$  в структуру регулятора приводит к формированию в замкнутой системе разнотемповых процессов. Используя метод анализа разнотемповых процессов, описанный в [4], можно выделить из полинома (15) уравнения характеристических полиномов подсистем медленных и быстрых движений. Получаем характеристический полином подсистемы медленных движений следующего вида:

$$A_{sms}(s) = (k_0 b)^{-1} \lim_{\varepsilon \rightarrow 0} A(s, \varepsilon) = s^3 + (T^{-1} + k_r)s^2 + (k_r T^{-1} + \omega_1^2)s + k_0 b T^{-1} \omega_1^2 =$$

$$= (s + T^{-1})(s^2 + k_r s + \omega_1^2), \quad (16)$$

где устойчивость процессов в подсистеме медленных движений обеспечивается выбором  $T > 0$  и  $k_r = 2d_r\omega_1$ , здесь  $d_r$  — коэффициент демпфирования, который можно, например, принять равным 1.

В соответствии с [4] для выделения характеристического полинома подсистемы быстрых движений выполним в полиноме (15) замену  $s = p/\varepsilon$  и умножим полученное выражение на  $\varepsilon^3$ . В результате будем иметь

$$p^4 + (k_0b - \varepsilon a)p^3 + \varepsilon(k_0bT^{-1} + k_0bk_r + \varepsilon\omega_1^2)p^2 + \\ + \varepsilon^2(k_0bk_rT^{-1} + k_0b\omega_1^2 - \varepsilon a\omega_1^2)p + \varepsilon^3k_0bT^{-1}\omega_1^2. \quad (17)$$

Из выражения (17) при  $\varepsilon \rightarrow 0$  следует полином  $p^4 + k_0bp^3$ , умножая который на множитель  $p^{-3}$  и выполняя замену  $p = \varepsilon s$ , получим  $\varepsilon s + k_0b$ . В результате нормировки данного полинома запишем характеристический полином подсистемы быстрых движений:

$$A_{fms}(s) = \tau_{fms}s + 1, \quad (18)$$

где  $\tau_{fms}$  — постоянная времени подсистемы быстрых движений,  $\tau_{fms} = \varepsilon/(k_0b)$ . Так как  $\varepsilon > 0$ , устойчивость быстрых процессов обеспечивается условием  $k_0b > 0$ . На практике удобно задавать  $k_0 \approx b^{-1}$ .

Согласно [4], если полиномы  $A_{fms}(s)$  и  $A_{sms}(s)$  удовлетворяют условиям устойчивости, при уменьшении параметра  $\varepsilon$  обеспечивается свойство устойчивости характеристического полинома (15) для системы (1), (10).

С учётом условий устойчивости полиномов  $A_{fms}(s)$  и  $A_{sms}(s)$  расчёт параметров ПИР-регулятора (10) фактически сводится к выбору параметра  $\varepsilon$  на основании заданных требований на степень разделения темпов быстрых и медленных процессов в системе управления.

Отметим, что анализ устойчивости системы (1) с регулятором (12) выполняется полностью аналогичным образом. При этом характеристический полином подсистемы быстрых движений имеет вид (18), а характеристический полином подсистемы медленных движений принимает вид

$$(s + T^{-1}) \prod_{\nu=1}^m (s^2 + k_{r\nu}s + \omega_\nu^2). \quad (19)$$

Расчётные соотношения для выбора параметра  $\varepsilon$  можно получить, сопоставляя постоянную времени  $\tau_{fms}$  полинома (18) подсистемы быстрых движений с постоянной времени  $\tau_a = a^{-1}$  системы (1) и с постоянными времени  $T, \omega_1^{-1}, \dots, \omega_m^{-1}$  полинома (19) подсистемы медленных движений.

Пусть  $\eta$  — требуемая степень разделения темпов быстрых и медленных процессов в системе управления с ПИР-регулятором, которую можно задать условием

$$\tau_{fms} = \eta^{-1} \min \{\omega_1^{-1}, \dots, \omega_m^{-1}, \tau_{a,\min}\}, \quad T = \eta\tau_{fms}, \quad (20)$$

где  $\tau_{a,\min} = a_{\max}^{-1}$ . Тогда, принимая во внимание что  $\varepsilon/(k_0b_{\max}) \leq \tau_{fms} \leq \varepsilon/(k_0b_{\min})$ , можно рекомендовать следующие расчётные соотношения для выбора параметров ПИР-регулятора (12), (14):

$$\varepsilon = \frac{k_0b_{\min}}{\eta} \min \{\omega_1^{-1}, \dots, \omega_m^{-1}, \tau_{a,\min}\}; \quad T = \eta\varepsilon; \quad k_0 = \frac{2}{b_{\max} + b_{\min}}; \quad k_{r\nu} = 2\omega_\nu. \quad (21)$$

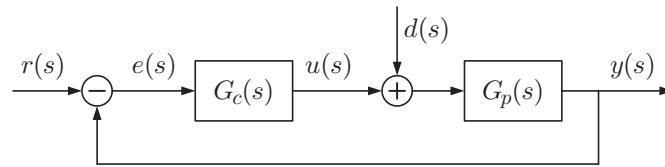
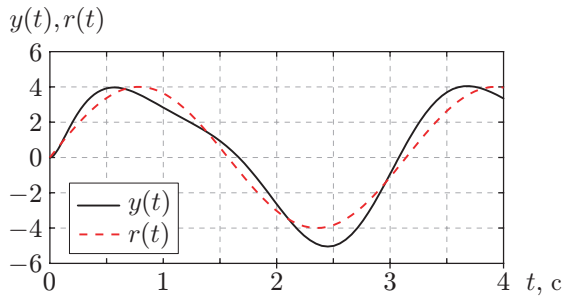
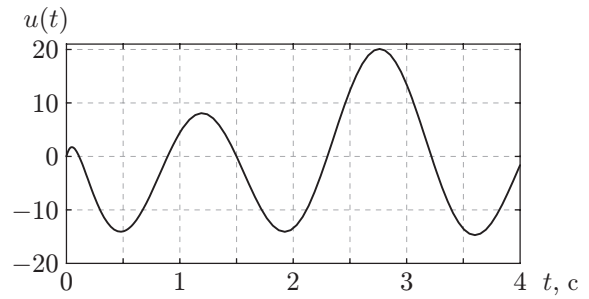
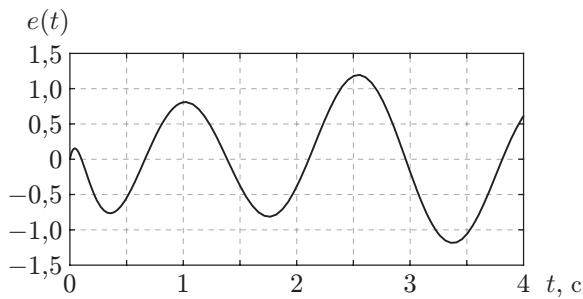
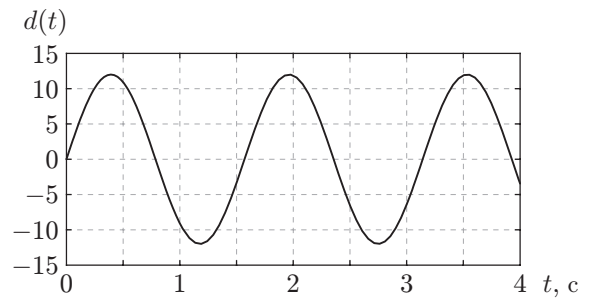
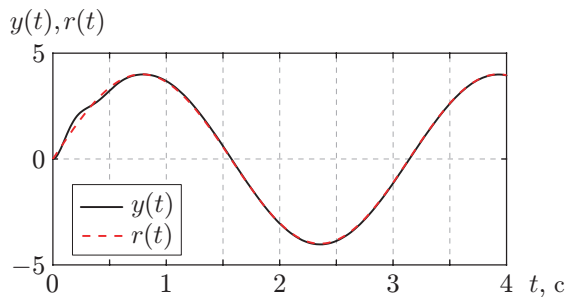
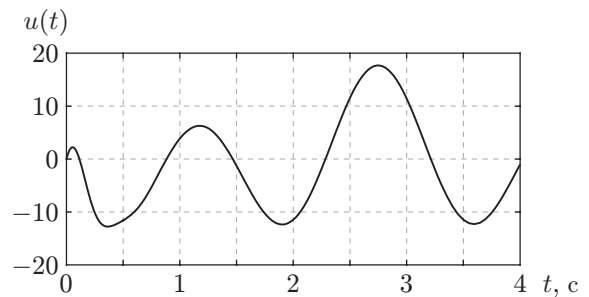
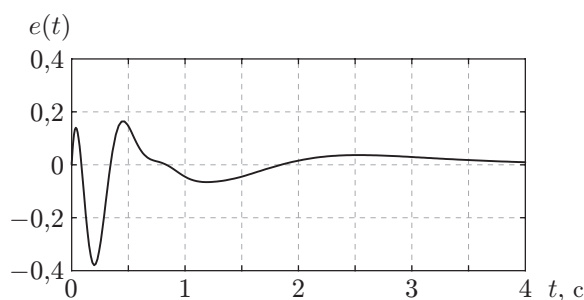


Рис. 1. Схема системы управления

Рис. 2. Графики  $y(t)$  и  $r(t)$  в системе (1), (14)Рис. 3. График  $u(t)$  в системе (1), (14)Рис. 4. График  $e(t)$  в системе (1), (14)Рис. 5. График для возмущения  $d(t)$ Рис. 6. Графики  $y(t)$  и  $r(t)$  в системе (1), (22)Рис. 7. График  $u(t)$  в системе (1), (22)Рис. 8. График  $e(t)$  в системе (1), (22)

Приемлемое значение  $\eta$  для конкретных условий обычно уточняется на основе результатов численного моделирования или натурального эксперимента.

**Результаты моделирования.** Эффективность подавления гармонических возмущений в системе с предлагаемым ПИР-регулятором можно показать на основе результатов численного моделирования системы (1) при следующих исходных данных:

$$a = 2, \quad b = 2, \quad r(t) = 4 \sin(2t), \quad d(t) = 12 \sin(4t).$$

В целях обеспечения свойства асимптотического стремления к нулю ошибки регулирования при заданных гармонических воздействиях сформируем модифицированный ПИР-регулятор с передаточной функцией вида

$$\tilde{G}_{pir}(s) = k_0 \frac{s + T^{-1}}{\varepsilon s} \left[ 1 + \frac{k_{r1}s}{s^2 + \omega_1^2} \right] \left[ 1 + \frac{k_{r2}s}{s^2 + \omega_2^2} \right], \quad (22)$$

где, используя соотношения (21) при  $\eta = 5$ , получим

$$\omega_1 = 2 \text{ с}^{-1}, \quad k_{r1} = 4, \quad \omega_2 = 4 \text{ с}^{-1}, \quad k_{r2} = 8, \quad (23)$$

$$\omega_{\max} = 4 \text{ с}^{-1}, \quad \varepsilon = 0,05 \text{ с}, \quad T = 0,25 \text{ с}, \quad k_0 = 0,5.$$

Схема системы управления представлена на рис. 1, где  $G_p(s) = b/(s - a)$  — передаточная функция системы (1);  $G_c(s)$  — передаточная функция регулятора, принимающая вид (14) для системы с ПИ-регулятором или вид (22) для системы с ПИР-регулятором. Предварительно было выполнено численное моделирование системы (1) с ПИ-регулятором (14) для расчётных значений (23) параметров ПИ-регулятора. Результаты моделирования представлены на рис. 2–4. График возмущающего воздействия  $d(t)$  при моделировании приведён на рис. 5. Из графика на рис. 4 следует, что в данном случае в замкнутой системе отсутствует свойство асимптотической устойчивости процесса слежения при заданных гармонических воздействиях.

Результаты численного моделирования системы (1) с ПИР-регулятором (22) при расчётных параметрах (23) показаны на рис. 6–8. График на рис. 8 наглядно демонстрирует наличие свойства асимптотической устойчивости процесса слежения при указанных гармонических воздействиях.

**Заключение.** В данной работе показано, что переход от структуры ПИР-регулятора (9) к модифицированной структуре (12) совместно с применением метода разделения движений позволяет получить простую методику расчёта параметров ПИР-регуляторов. Предлагаемая методика расчёта данного класса регуляторов может найти широкое применение при проектировании систем активной вибрационной защиты, систем стабилизации положения исполнительных механизмов на подвижных платформах, систем управления для инверторов напряжения и тока, а также систем управления активными силовыми фильтрами для электрических сетей переменного тока.

## СПИСОК ЛИТЕРАТУРЫ

1. Francis B., Wonham W. The internal model principle of control theory // Automatica. 1976. 12, N 5. P. 457–465.
2. Franklin G. F., Powell J. D., Emami-Naeini A. Feedback Control of Dynamic Systems. 5th Ed. Prentice-Hall Inc., 2006. 910 p.

3. **The Control Handbook** /Ed. by W. S. Levine. Boca Raton: CRC Press LLC, 1996. 1548 p.
4. **Meerov M. V.** Structural Synthesis of High-Accuracy Automatic Control Systems // Pergamon Press International Series of Monographs on Automation and Automatic Control. Vol. 6. Oxford, New York: Pergamon Press, 1965. 341 p.
5. **Уткин В. И.** Скользящие режимы в задачах оптимизации и управления. М.: Наука, 1981. 368 с.
6. **Pavlov A., van de Wouw N., Nijmeijer N.** Uniform Output Regulation of Nonlinear Systems: A Convergent Dynamics Approach. Boston, MA: Birkhäuser, 2006. 172 p.
7. **Halim D., Moheimani S. O. R.** Spatial resonant control of flexible structures — Application to a piezoelectric laminate beam // IEEE Trans. Control Syst. Technol. 2001. **9**, N 1. P. 37–53.
8. **Nos O. V., Shtein D. A., Leus G. S. et al.** The simplified control technique for PMSM torque ripple reduction // Proc. of the 21st Int. Conf. of Young Specialists on Micro/Nanotechnologies and Electron Devices (EDM). Chemal, Russia, 29 June–03 July 2020. P. 475–481.
9. **Teodorescu R., Blaabjerg F., Liserre M., Loh P. C.** Proportional resonant controllers and filters for grid-connected voltage-source converters // IEE Proc. Electr. Power Appl. 2006. **153**, N 5. P. 750–762.
10. **Citro C., Siano P., Cecati C.** Designing inverters' current controllers with resonance frequencies cancellation // IEEE Trans. Industrial Electronics. 2016. **63**, N 5. P. 3072–3090.
11. **Pereira L. F. A., Bazanella A. S.** Tuning rules for proportional resonant controllers // IEEE Trans. Control Systems Technol. 2015. **23**, N 5. P. 2010–2017.
12. **Pan Z., Dong F., Zhao J. et al.** Combined resonant controller and two-degree-of-freedom PID controller for PMSLM current harmonics suppression // IEEE Trans. Industrial Electronics. 2018. **65**, N 9. P. 7558–7568.
13. **Kwakernaak H., Sivan R.** Linear Optimal Control Systems. Chichester: Wiley-Interscience, 1972. 575 p.
14. **Ziegler J. G., Nichols N. B.** Optimum settings for automatic controllers // Trans. ASME. 1942. **64**, N 11. P. 759–768.
15. **Hans F., Schumacher W., Chou S. F., Wang X.** Design of multifrequency proportional-resonant current controllers for voltage-source converters // IEEE Trans. Power Electronics. 2020. **35**, N 12. P. 13573–13589.
16. **De Heredia A., Gaztanaga H., Etxeberria-Otadui I. et al.** Analysis of multi-resonant current control structures and tuning methods // Proc. of the 32nd IEEE Annual Conference on Industrial Electronics (IECON 2006). Paris, France, 7–10 Nov., 2006. P. 2156–2161.
17. **Юркевич В. Д.** Расчёт и настройка регуляторов для нелинейных систем с разнотемповыми процессами // Автометрия. 2012. **48**, № 5. С. 24–31.
18. **Yurkevich V. D., Naidu D. S.** Educational issues of PI-PID controllers // IFAC Proceedings Volumes. 2012. **45**, N 11. P. 448–453.

*Поступила в редакцию 02.06.2021*

*После доработки 10.06.2021*

*Принята к публикации 11.06.2021*